

国产 BaF₂(La) 晶体闪烁性能的研究

张天保 祝玉灿 王海东 王亚东

(中国科学院高能物理研究所, 北京 100039)

任绍霞 肖 红 张 瑾

(北京玻璃研究所, 北京 100062)

摘要

在 BaF₂ 中掺入 1% mol 的 LaF₃ 结晶出 BaF₂(La) 晶体, 经测试, 此晶体闪烁发光快成份的强度比纯 BaF₂ 晶体不减弱, 而发光慢成份被抑制约 4 倍, 耐辐照能力可以达到 10^6 rad, 表明新晶体有希望满足未来高能物理实验的要求。

一、引言

氟化钡 (BaF₂) 是一种高密度无机闪烁晶体, 它有一个寿命很短 (0.6ns) 的发光成份^[1], 作为核探测器具有优良的时间分辨性能及其它特点, 可以用在高能和低能物理实验中^[2,3]. 纯的 BaF₂ 晶体还有一个长的 ($0.6\mu s$) 发光成份, 其强度约为短成份的 4 倍。在高计数率实验的情况下, 例如对高能物理实验及核医学工作, 长成份会增大噪声本底并造成计数堆积, 表现为有害成份。Schotanus 等人^[4]发现在 BaF₂ 中掺入 La 可以有效地抑制长成份, 之后人们还掺入其它杂质元素进行研究^[5]. 为了发展我国的 BaF₂ 探测技术, 我们在国内首次结晶出掺 La 为 1% 的 BaF₂(La) 晶体, 进行了包括耐辐照能力在内的诸项性能测试, 初步结果表明, 这种新晶体有希望满足未来的实验要求。

二、实验

1. 实验方法

BaF₂(La) 晶体由北京玻璃研究所制备。曾结晶出两根坯料, 从每根上各取一段加工成圆柱形晶体, 表面全抛光, 尺寸分别为 $\phi 27\text{mm} \times 13\text{mm}$ 和 $\phi 27\text{mm} \times 10\text{mm}$ 。事先测量发现尺寸为 $\phi 27\text{mm} \times 10\text{mm}$ 的晶体性能较好, 将它用于耐辐照实验, 辐照源为中国科学院生物物理研究所的 ⁶⁰Co γ 源, 以 11.7rad/s 的剂量率辐照累积到 $1.0 \times 10^6\text{rad}$ 总剂量。晶体在辐照后 110 天进行过退火处理。

为了对晶体在辐照前后各阶段的性能进行比较测试，需要多次重复地把它装成射线探测器：围三层白色聚四氟乙烯生料带作闪烁光的反射体，用 DC-200 硅油把晶体耦合在光电倍增管 XP2020Q 光阴极窗的中心处，置入暗盒并加磁屏蔽，加同样的负高压工作等，此外，用一个封装好的纯 BaF_2 晶体随时作替换测量以监视系统的电子学漂移。

探头设置快和慢两种输出，快信号直接由光电倍增管阳极引出，用于时间分辨测量，或经定时滤波放大器成形为 10ns 宽度的脉冲，再经展宽用于晶体发光快成份的能谱测量和光电子产额测量。慢信号由光电倍增管第 10 打拿极引出，经放大器成形为 10 μs 脉冲，用于晶体发光总成份的能谱测量和光电子产额测量。多道分析器为 Canberra 公司产 S30 型 1024 道分析器。

用 ^{60}Co 、 ^{22}Na 、 ^{137}Cs 和 ^{241}Am 各 γ 射线的能峰位置标定探测器的线性，用 ^{137}Cs 的 662keV γ 射线能峰的相对宽度值标定能量分辨。

用与单电子脉冲平均高度相比较的方法来测量 $\text{BaF}_2(\text{La})$ 闪烁光快慢成份的光电子产额，方法要点可参见文献[6]。概括地说，是在脉冲成形 10 μs 条件下测出光电倍增管光阴极发射单电子所给出的脉冲高度分布，由此求出平均高度 \bar{H} ，在同样仪器条件下（或加线性衰减）测量 $\text{BaF}_2(\text{La})$ 及塑料闪烁体 NE111 对 ^{137}Cs 和 ^{241}Am γ 射线所产生的脉冲高度，与 \bar{H} 值相比较定出 $\text{BaF}_2(\text{La})$ 发光总成份光电子产额及 NE111 的光电子产额，把脉冲成形时间换为 10ns（这时 $\text{BaF}_2(\text{La})$ 发光慢成份已滤除），比较 $\text{BaF}_2(\text{La})$ 与 NE111 的脉冲高度，定出 $\text{BaF}_2(\text{La})$ 的快成份光电子产额，由总产额中扣除快成份产额得出 $\text{BaF}_2(\text{La})$ 发光慢成份的光电子产额。

安装了两个探测器的探头，使用已有的正电子寿命谱仪的电子学插件（只用快电路），测 ^{60}Co 双 γ 射线的瞬发符合分辨曲线，由曲线的宽度定出时间分辨。

2. 实验结果

$\text{BaF}_2(\text{La})$ 晶体在辐照前无色透明，表面有细纹，经 24 小时 γ 辐照，呈鲜红色，数小时内渐呈淡黄色，再长时间后，目视为无色透明，但有强烈自发光^①，成为探测器噪声本底。晶体在暗盒中静置一天，自发光消失，可进行正常测量，如晶体再曝光，仍出现自发光，但经退火处理后，自发光现象不再出现。

表 1 列出尺寸为 $\phi 27\text{mm} \times 10\text{mm}$ 的 $\text{BaF}_2(\text{La})$ 晶体在 γ 辐照前后各时间总成份和快成份光电子产额及能谱分辨测量结果，至于尺寸为 $\phi 27\text{mm} \times 13\text{mm}$ 的那块晶体，其快成份光电子产额明显低 1/3，其它略同，不再列出。

表 1 $\text{BaF}_2(\text{La})$ 辐照前后的光电子产额及能量分辨

		辐照前	辐 照 后			误差
			11 天	110 天	200 天	
总成份	光电子产额 (1/MeV)	673	538	666	690	± 30
	能量分辨 (^{137}Cs) (%)	16	17	15.1	16.3	± 1.7
快成份	光电子产额 (1/MeV)	404	347	363	391	± 15
	能量分辨 (^{137}Cs) (%)	24	27	25.4	25	± 1.2
备 注				退火处理		

由表 1 的数据看出, BaF₂(La) 发光快成份的光电子产额约为 400 光电子/MeV, 和纯 BaF₂ 发光快成份的光电子产额^[1]大体一致, 表明掺 La 后没有使快成份减弱。但 BaF₂(La) 发光慢成份光电子产额约在 270—300 光电子/MeV, 比纯 BaF₂ 的降低约 4 倍。又看出, 10⁶rad 的 γ 辐照使闪烁光强降低 20%, 但通过一定的处理和等待可以恢复。

图 1 给出经辐照和恢复的 BaF₂(La) 的 γ 能谱(对¹³⁷Cs 和²²Na 源), 它与辐照前的情况无显著变化。由¹³⁷Cs 的 662keV γ 峰计算出能量分辨率为 16%, 它明显劣于纯 BaF₂ 的能量分辨^[8], 这可归因于 BaF₂(La) 晶体的总光电子产额减少而统计涨落增大。

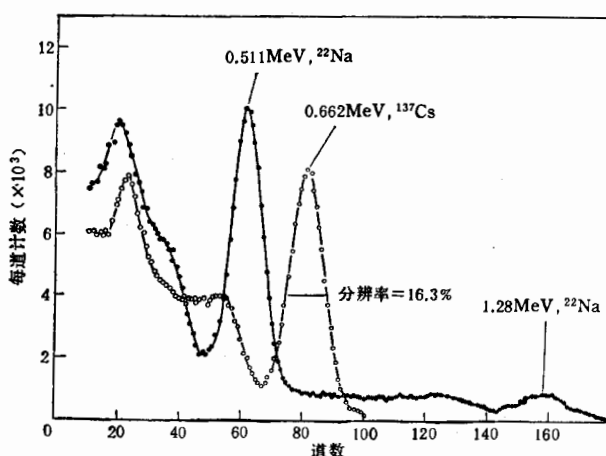


图 1 经辐照和恢复的 BaF₂(La) 探测器的 γ 能谱图

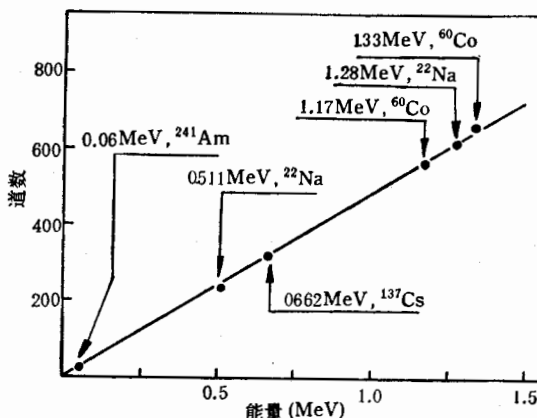


图 2 经辐照和恢复的 BaF₂(La) 探测器的能量线性

图 2 给出经辐照和恢复的 BaF₂(La) 探测器的能量线性图, 可以看出, 线性关系仍然是好的。

表 2 给出时间分辨的测试结果, 停止道固定为经辐照和恢复的 BaF₂(La) 探测器, 起始道用未经辐照的 BaF₂(La), 因这块晶体快成份的强度弱, 曾用纯 BaF₂ ($\phi 20\text{mm} \times 10\text{mm}$, 快成份光电子产额为 357 光电子/MeV) 替换作测量。图 3 给出最后一种条件下测

得的⁶⁰Co双γ瞬发符合曲线,得出半高宽值 FWHM = 158ps,因起始和停止两晶体的快成份强度大致相同,可得出 BaF₂(La) (经辐照)晶体对时间分辨的贡献为

$$158/\sqrt{2} = 112\text{ps}.$$

表2 时间分辨测试结果(用⁶⁰Co源)

起始道		停止道		时间分辨(ps)		
晶体	能窗(MeV)	晶体	能窗(MeV)	FWHM	FW 0.1M	FW 0.01M
BaF ₂ (La) 未辐照	0.7—1.4	BaF ₂ (La) 辐照	0.7—1.4	200	363	525
BaF ₂ (La) 未辐照	1.1—1.4	BaF ₂ (La) 辐照	1.1—1.4	173	320	462
纯 BaF ₂ , $\phi 20 \times 10$	1.1—1.4	BaF ₂ (La) 辐照	1.1—1.4	158	292	404

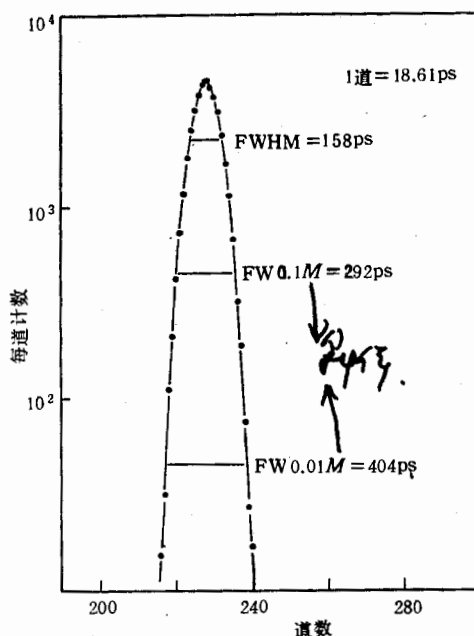


图3 ⁶⁰Co 双γ瞬发符合曲线,起始道: 纯 BaF₂, 能窗 1.1—1.4 MeV; 停止道: BaF₂(La), 能窗 1.1—1.4 MeV

三、讨 论

1. 高能物理实验中,探测器所在位置有较大射线剂量,例如在未来超导对撞机 SSC 的工作区,年累积剂量预计为 10^4 — 10^6 rad。国产 BaF₂(La) 目前耐“冲击”剂量达 10^6 rad 并能恢复,表明它有希望得到应用。

2. 核医学中所使用的放射性同位素一般说是寿命短但强度大,估计探测器的辐射损伤问题不严重,但计数堆积问题也会存在,所以抑制慢发光成份(目前为 4 倍)是有意义

的。

3. 继续改进国产 BaF₂(La) 性能的研究工作是应该进行的,例如稳定结晶工艺、改进晶体的均匀性、进一步抑制慢发光成份、结出大块晶体、设计简便易行的退火流程等都是必要的。

作者对生物物理所林桂京同志在辐照工作中给予的协助表示感谢。

参 考 文 献

- [1] M. Laval, M. Moszynski, R. Allemans, E. Cormereche, P. Guinet, R. Odru and J. Vacher, *Nucl. Inst. Methods*, **206**(1983), 169.
- [2] R. Y. Zhu, 'A High Resolution BaF₂ Crystall Array', CALT-68-1566, DOE RESEARCH AND DEVELOPMENT REPORT, the International Industrial Symposium on SSC, January, 1989.
- [3] T. Chang, D. Yin, C. Cao, S. Wang and J. Liang, *Nucl. Instr. Methods in Physics Research*, **A256**(1987), 398.
- [4] P. Shotanus, et al., *ibid*, **A281**(1989), 162.
- [5] H. Mn, et al., 'Development and Precise Calibration of a High Resolution BaF₂ Crystal Array', CALT-68-1517, DOE RESEARCH AND DEVELOPMENT REPORT, 1989.
- [6] 张天保 唐孝威 张勤建,高能物理与核物理,V7(1983),674.
- [7] 宫竹芳等,核技术, V. 11N. 7(1988),39.
- [8] Y. Zhu, J. Lu, J. Li, Y. Shao, H. Sun, B. Dong, G. Zhou, Z. Zheng, F. Cui, C. Yu, *Nucl. Inst. Methods in Physics Research*, **A244**(1986), 577.

Investigation of the Scintillation Properties of Domestic BaF₂ (La) Crystal

ZHANG TIANBAO ZHU YUCAN WANG HAIDONG WANG YADONG

(Institute of High Energy Physics, Academia Sinica, Beijing 100039)

REN SHAOXIA XIAO HONG ZHANG JIN

(Beijing Glass Research Institute, 100062)

ABSTRACT

BaF₂ (La) crystal has been grown with 1% mole of LaF₃ doped in BaF₂ and the scintillation properties of the new crystal have been investigated before and after a γ irradiation of ⁶⁰Co source. The radiation resistance of the domestic crystal can be up to a dose of 10^6 rad. Comparing with a pure BaF₂ scintillator, it was found that the fast component of the BaF₂(La) scintillator was almost no change but its slow component was suppressed to a factor of 4.